

مهندسی مکانیک جامدات

www.jsme.ir



تحلیل رفتار ارتعاشات غیر خطی نanolوله‌های کربنی چندلایه در محیط حرارتی با استفاده از مدل غیرموضعی تیر تیموشنکو

ابوالحسن نظری نژاد گیاشی^{۱*}، رضا انصاری^۲، حبیب رمضان نژاد آزاربندی^۳

*نویسنده مسئول: nazarinezhad@iaurooudbar.ac.ir

واژه‌های کلیدی

نانولوله کربنی چندلایه، تئوری غیرموضعی تیموشنکو، روش هارمونیک بالانس، محیط حرارتی،

چکیده

در این مقاله بر اساس تئوری غیرموضعی تیر تیموشنکو، مدلی غیر خطی از رفتار ارتعاشاتی نanolوله‌های کربنی چند لایه روی بستر الاستیک در محیط حرارتی ارائه می‌شود. با به کار گیری تئوری تیر تیموشنکو و تئوری الاستیستیه غیرموضعی ارینگن، اثرات اینرسی و تغییر شکل برشی و نیز اثرات مقیاس کوچک در تحلیل حاضر لحاظ می‌شوند. به منظور مدل کردن نیروی برهم کنش بین لایه‌ها، اثر متقابل وندروالسی تمام لایه‌ها بر همدیگر در نظر گرفته شده است. از روش هارمونیک بالانس برای حل دستگاه معادلات غیرخطی حاکم بر رفتار سیستم و استخراجتابع فرکانسی تحت شرایط مرزی تکیه گاه ساده استفاده می‌شود. این روش نسبت به روش هارمونیک بالانس جزیی که در مطالعات قبلی مورد استفاده قرار گرفته است، ساده‌تر و دارای دقت قابل قبولی می‌باشد. تأثیر پارامترهای هندسی نanolوله مانند تعداد لایه‌ها، نسبت طول به قطر خارجی و شرایط محیطی مانند اثرات ضربی بستر الاستیک، دما و همچنین تأثیر پارامتر غیرموضعی بر فرکانس غیرخطی نanolوله‌ها مورد بررسی قرار می‌گیرند. تحلیل ارتعاشات غیرخطی ارائه شده دارای روابط کلی بوده، به طوری که این روابط قابل استفاده برای نanolوله کربنی با هر تعداد لایه هستند. نتایج بدست آمده برای نanolوله‌ای تک‌لایه، دو‌لایه و سه‌لایه نشان می‌دهند که افزایش در پارامترهایی همچون تعداد لایه‌ها، مقدار ضربی بستر الاستیک، نسبت طول به قطر خارجی و دما باعث کاهش سطوح پاسخ فرکانس غیرخطی شده و فرکانس غیرخطی به سمت فرکانس خطی می‌کند. همچنین مقایسه نتایج حاصل از تئوریهای تیر تیموشنکو و تیر اویلر-برنولی نشان می‌دهد که تفاوت پاسخ فرکانسی این دو تئوری در طولهای کوتاه نanolوله بوده و نتایج این دو تئوری در طولهای بلند به سمت یکدیگر همگرا می‌شوند.

۱- مری، دانشگاه آزاد اسلامی واحد رودبار.

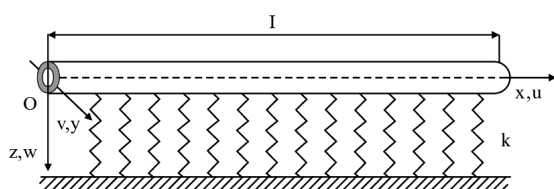
۲- استادیار، دانشگاه گیلان.

۳- دانشجوی دکتری، دانشگاه گیلان.

ارائه شده در مقاله مذکور، روش هارمونیک بالанс جزئی است. مدل تیر تیموشکو با توجه به در نظر گرفتن اثرات اینرسی و تغییرشکل برشی مدلی کامل‌تر نسبت به مدل تیر اویلر-برنولی به شمار می‌رود. همچنین، همانگونه که پیشتر اشاره شد، توریهای کلاسیک قادر به درنظر گرفتن اثرات اندازه کوچک نیستند. از این‌رو، هدف اصلی از ارائه این مقاله، بسط سیستماتیک مدل غیرموضعی تیر تیموشکو برای مطالعه ارتعاشات غیر خطی نانولوله‌های کربنی چندلایه روی بستر الاستیک در محیط حرارتی است. از طرفی روش به کار گرفته شده برای استخراج فرکانس غیرخطی، روش هارمونیک بالанс است که بسیار ساده‌تر و دارای دقت کافی نسبت به روش هارمونیک بالанс جزئی بوده و برای اولین بار برای محاسبه فرکانس غیر خطی نانولوله‌های کربنی مورد استفاده قرار می‌گیرد. با به کارگیری روش هارمونیک بالанс، دستگاه معادلات مورد نیاز برای محاسبه فرکانس غیرخطی به صورت تابعی از دامنه برای نانولوله کربنی با هر تعداد لایه به صورت کلی استخراج می‌شود. در این مقاله، اثرات پارامتر غیرموضعی، ضربی بستر الاستیک، دما، نسبت طول به قطر خارجی و تعداد لایه‌ها بر پاسخ فرکانسی مورد بررسی قرار می‌گیرد. همچنین نتایج حاصل از دو تئوری تیر اویلر-برنولی و تیموشکو نیز با هم مقایسه می‌شوند. لازم به ذکر است که بر پایه مدل توسعه یافته در این تحقیق، اثر وندروالسی متقابل تمام لایه‌ها روی یکدیگر لحاظ می‌شود.

۲- معادلات حاکم

شکل (۱) یک نانولوله کربنی با طول L ، مدول یانگ E ، چگالی ρ و سطح مقطع A را روی بستر الاستیک نشان می‌دهد.



شکل (۱) شماتیک یک نانولوله کربنی چند لایه روی بستر الاستیک [۱۰].

۱- مقدمه

کشف نانولوله‌های کربنی در سال ۱۹۹۰ به گسترش علم نانوتکنولوژی و ارائه مقالات و افزایش دانش فنی و مهندسی این شاخه از علم منجر شده است [۱]. خواص منحصر به‌فرد نانولوله‌های کربنی باعث شده است تا این گونه نانوسازه‌ها به‌طور گستردگی در نانوالکترونیک، نانوبارهای نانوکامپوزیتها کاربرد داشته باشند [۲-۵]. از ویژگی‌های منحصر به‌فرد نانولوله‌های کربنی، خواص مکانیکی چشمگیر آنها است [۶-۸] به‌طور مثال سفتی نانولوله‌های کربنی صد برابر سفتی فولاد بوده در حالیکه وزنشان یک ششم وزن فولاد است.

بر اساس مکانیک محیط‌های پیوسته، شماری از محققان برای مدل کردن رفتارهای مکانیکی نانوسازه‌ها از توریهای تیر [۹-۱۸] و پوسته [۱۹-۲۰] استفاده کرده‌اند. در توریهای کلاسیک تیر و پوسته از اثرات اندازه در مقیاسهای کوچک صرف نظر می‌شود. اما، در تئوری غیرموضعی ارائه شده توسط ارینگن [۲۱-۲۲]، برخلاف مکانیک پیوسته کلاسیک، تانسور تنش در یک نقطه مرجع تنها به تانسور کرنش در آن نقطه وابسته نیست، بلکه تابعی از تانسور کرنش در تمامی نقاط ماده است. این امر سبب در نظر گرفتن طول مشخصه داخلی و لحاظ کردن طبیعت غیرپیوسته نانوسازه می‌شود. با بیان این نظریه، تحلیل‌های مختلفی شامل تحلیل‌های ارتعاشاتی و کمانشی روی نانوسازه‌ها در محدوده رفتار خطی انجام شده است [۱۲، ۱۵، ۱۹-۲۰].

مروری بر مقالات ارائه شده در دیبره نشان می‌دهد که اکثر رفتار مکانیکی نانولوله‌های کربنی تک‌لایه و دولایه مورد توجه محققان بوده است. همچنین معادلات ارائه شده کلی نبوده و قابلیت کاربرد برای تحلیل نانولوله‌های چندلایه را دارا نیستند. علاوه بر این، در مورد نانولوله‌های چندلایه که نیروهای وندروالسی بر روی رفnar مکانیکی آنها مؤثرند، در مدل‌های به کار گرفته شده موجود نیروی وندروالسی فقط بین لایه‌های مجاور در نظر گرفته شده است و از اثر نیروهای وندروالسی لایه‌های غیرمجاور صرف نظر می‌شود.

انصاری و همکاران مدل موضعی (کلاسیک) تیر اویلر-برنولی برای تحلیل رفnar ارتعاشات غیرخطی نانولوله‌های کربنی در محیط حرارتی به کار گرفته شده است. [۲۳] همچنین، روش حل

$$\begin{aligned}
 & \rho l_1 \mu \frac{\partial^2 \psi_1}{\partial t^2} - El_1 \frac{\partial^2 \psi_1}{\partial x^2} + k_1 G A_1 \left(\frac{\partial w_1}{\partial x} + \psi \right) = 0 \\
 & \rho A_1 \mu \frac{\partial^2 w_1}{\partial t^2} - k_1 G A_1 \left(\frac{\partial^2 w_1}{\partial x^2} + \frac{\partial w_1}{\partial x} \right) \\
 & = \frac{EA_1}{\gamma l} \left(\int_{\circ} \left(\frac{\partial w_1}{\partial x} \right)^2 dx + N_t^1 \right) \frac{\partial^2 w_1}{\partial x^2} + \mu \sum_{j=1, j \neq 1}^n c_{1j} (w_j - w_1) \\
 & \vdots \\
 & \rho l_i \mu \frac{\partial^2 \psi_i}{\partial t^2} - El_i \frac{\partial^2 \psi_i}{\partial x^2} + k_i G A_i \left(\frac{\partial w_i}{\partial x} + \psi \right) = 0 \\
 & \rho A_i \mu \frac{\partial^2 w_i}{\partial t^2} - k_i G A_i \left(\frac{\partial^2 w_i}{\partial x^2} + \frac{\partial w_i}{\partial x} \right) \\
 & = \frac{EA_i}{\gamma l} \left(\int_{\circ} \left(\frac{\partial w_i}{\partial x} \right)^2 dx + N_t^i \right) \frac{\partial^2 w_i}{\partial x^2} + \mu \sum_{j=1, j \neq i}^n c_{ij} (w_j - w_i) \\
 & \vdots \\
 & \rho l_n \mu \frac{\partial^2 \psi_n}{\partial t^2} - El_n \frac{\partial^2 \psi_n}{\partial x^2} + k_n G A_n \left(\frac{\partial w_n}{\partial x} + \psi_n \right) = 0 \\
 & \rho A_n \mu \frac{\partial^2 w_n}{\partial t^2} - k_n G A_n \left(\frac{\partial^2 w_n}{\partial x^2} + \frac{\partial w_n}{\partial x} \right) + k \mu w_n \\
 & = \frac{EA_n}{\gamma l} \left(\int_{\circ} \left(\frac{\partial w_n}{\partial x} \right)^2 dx + N_t^n \right) \frac{\partial^2 w_n}{\partial x^2} \\
 & \quad + \mu \sum_{j=1, j \neq n}^n c_{nj} (w_j - w_n) \tag{6}
 \end{aligned}$$

که

$$\mu = (1 - (e_o a)^2 \nabla^2)$$

برای شرط مرزی ساده می‌توان توابع جابه‌جایی و شیب را می‌توان به صورت زیر در نظر گرفت:

$$\psi_i(x, t) = \frac{\psi_i(t) \cos m \pi x}{l} \quad \text{و} \quad W_i(x, t) = \frac{W_i(x) \sin m \pi x}{l}$$

این توابع سازگار با شرط مرزی می‌باشد. با اعمال این توابع، دسته معادلات حاکم (6) به صورت دسته معادلات مستقل از x وابسته به زمان استخراج می‌شوند:

$$\begin{aligned}
 & \frac{d^2 \psi_1}{dt^2} + \left(\frac{\pi^2 E}{\beta l^2} + \frac{k_1 G A_1}{\beta l_1 l} \right) \psi_1 + \frac{\pi k_1 G A_1}{\beta l_1 l} w_1 = 0 \\
 & \frac{d^2 \psi_1}{dt^2} + \left(\frac{\pi^2 k_1 G}{\beta l^2} + \frac{\pi^2 N_t^1}{\beta A_1 l^2} + \sum_{j=1, j \neq 1}^n \frac{c_{1j}}{\beta A_1} \right) w_1 \\
 & + \frac{\pi k_1 G}{\beta l} \psi_1 + \frac{\pi^2 E}{\beta l^2} w_1 - \sum_{j=1, j \neq 1}^n \frac{c_{1j}}{\eta A_i} w_j = 0 \\
 & \vdots
 \end{aligned}$$

با توجه به تئوری غیرموضعی تیر تیموشنکو، معادله دیفرانسیل حاکم بر رفتار غیر خطی سیستم به صورت زیر بیان می‌شود [۱۱]:

$$\begin{aligned}
 & \rho l (1 - (e_o a)^2 \nabla^2) \frac{\partial^2 \psi}{\partial t^2} - EI \frac{\partial^2 \psi}{\partial x^2} + k G A \left(\frac{\partial \psi}{\partial x} + \psi \right) = 0 \\
 & \rho A \left(1 - (e_o a)^2 \nabla^2 \right) \frac{\partial^2 w}{\partial t^2} - k G A \left(\frac{\partial^2 w}{\partial x^2} + \frac{\partial w}{\partial x} \right) \\
 & - \frac{EA}{\gamma l} \left(\int_{\circ} \left(\frac{\partial w}{\partial x} \right)^2 dx + N_t \right) \frac{\partial^2 w}{\partial x^2} = P(x, t) \tag{1}
 \end{aligned}$$

در رابطه (۱) $P(x, t)$ می‌تواند اثر فشار ناشی از عکس العمل نیروهای وندروالسی و یا عکس العمل بین لوله و بستر الاستیک با توجه به مدل وینکلر باشد. عکس العمل وندروالسی به صورت زیر تعریف می‌شود

$$p_i(x, t) = \sum_{j=1, j \neq i}^n c_{ij} (1 - (e_o a)^2 \nabla^2) (w_i - w_j) \tag{2}$$

c_{ij} ضریب وندروالسی بوده و از رابطه زیر قابل محاسبه است:

$$c_{ij} = \left[\frac{100 \pi \varepsilon \sigma^{12}}{3a^4} E_{ij}^{13} - \frac{112 \cdot \pi \varepsilon \sigma^6}{9a^4} E_{ij}^6 \right] R_j \tag{3}$$

در این رابطه ε پارامتری که با فاصله تعادل بدست می‌آید، R_j شاعع زامین لایه و E_{ij}^m با مقدار عددی طبیعی برای m به صورت انتگرال زیر بیان می‌شود

$$E_{ij}^m = (R_j + R_i)^m \int_{\circ}^{\pi/2} \left[1 - \frac{4R_j R_i}{(R_j + R_i)^2} \cos^2 \theta \right]^{\frac{m}{2}} d\theta \tag{4}$$

و هرگاه $p(x, t)$ عکس العمل بین لوله و بستر الاستیک در راستای عرضی باشد به صورت زیر تعریف می‌شود:

$$p(x, t) = -k (1 - (e_o a)^2 \nabla^2)_w \tag{5}$$

علامت منفی در رابطه (5) به خاطر فشاری است که از طرف بستر الاستیک در خلاف جهت جابه‌جایی نanolوله وارد شده که k ضریب بستر الاستیک است. همچنین نیروی ناشی از دما نیز به صورت $N_t = \frac{EA}{1 - \nu} a_x T$ تعریف شده که در آن a_x ضریب نفوذ دمایی در راستای x دما و ν ضریب پواسون می‌باشد. دستگاه معادلات دیفرانسیل پاره‌ای غیرخطی حاکم بر رفتار نanolوله به صورت تابعی از زمان و جابه‌جایی به دست می‌آید:

$$\omega_T^i = \sqrt{\frac{\pi^* N_t^i}{\eta A_i l^*}} , \quad \omega_k = \sqrt{\frac{k}{\eta A_n}} , \quad \omega_c^{ij} = \sqrt{\frac{c_{ij}}{\eta A_i}}$$

$$\tau = \omega t \quad , \quad \alpha = \frac{\pi^*}{\epsilon l^*}$$

معادله (۸) به صورت زیر بازنویسی می‌شود:

$$\omega^* \bar{W}_i + ((\omega_l^*) + (\omega_s^i)^*) \psi_i + \frac{\pi}{l} (\omega_s^i)^* W_i = 0$$

$$\omega^* \bar{W}_i + \left(\frac{\pi}{l} (\omega_r^i)^* + (\omega_T^i)^* + (\omega_k^*) \delta_{in} + \sum_{j=1, j \neq i}^n (\omega_c^{ij})^* \right) W_i + (\omega_r^i)^* \psi_i + \alpha \omega_l^* W_i - \sum_{j=1, j \neq i}^n (\omega_c^{ij})^* W_j = 0 \quad (9)$$

همانطور که قبل اشاره شد یکی از اهداف این مقاله بکارگیری روش هارمونیک بالانس برای حل دستگاه معادلات غیرخطی حاکم بر رفتار نانولوکهای چندلایه می‌باشد. در این روش فرض می‌شود که با توجه به ماهیت هارمونیک بودن رفتار نانولوکهای چندلایه، حل دستگاه معادلات (۹) از سری فوریه زیر پیروی کند:

$$\psi_i(\tau) = \Lambda_i \cos \tau + \Lambda_{i+n} \cos 3\tau \quad (10)$$

$$W_i(\tau) = \Gamma_i \cos \tau + \Gamma_{i+n} \cos 3\tau$$

با قرار دادن حل فرضی بیان شده در رابطه (۱۰) در دستگاه معادلات (۹) و بسط هر یک از جملات سری فوریه و برابر قرار دادن ضرایب جملات مشابه هارمونیک، ضرایب τ $\cos 3\tau$ که اساس روش هارمونیک بالانس است، معادلات جبری زیر قابل استخراج است

$$-\omega^* \Lambda_i + ((\omega_l^*) + (\omega_s^i)^*) \Lambda_i + \frac{\pi}{l} (\omega_s^i)^* \Gamma_i = 0$$

$$-\omega^* \Gamma_i + \left(\frac{\pi}{l} (\omega_r^i)^* + (\omega_T^i)^* + (\omega_k^*) \delta_{in} + \sum_{j=1, j \neq i}^n (\omega_c^{ij})^* \right) \Gamma_i + (\omega_r^i)^* \Lambda_i + \alpha \omega_l^* \left(\frac{3}{4} \Gamma_i^* \Gamma_{i+n} + \frac{3}{4} \Gamma_{i+n}^* \Gamma_i + \frac{3}{4} \Gamma_i^* \right) - \sum_{j=1, j \neq i}^n (\omega_c^{ij})^* \Gamma_{j+n} = 0 \quad (11)$$

$$\frac{d^* \psi_i}{dt^*} + \left(\frac{\pi^* E}{\beta l^*} + \frac{k_i G A_i}{\beta I_i} \right) \psi_i + \frac{\pi k_i G A_i}{\beta I_i l} w_i = 0$$

$$\frac{d^* W_i}{dt^*} + \left(\frac{\pi^* k_i G}{\beta l^*} + \frac{\pi^* N_t^i}{\beta A_i l^*} + \sum_{j=1, j \neq i}^n \frac{c_{ij}}{\beta A_i} \right) W_i + \frac{\pi k_i G}{\beta l} \psi_i + \frac{\pi^* E}{\epsilon \beta l^*} W_i^* - \sum_{j=1, j \neq i}^n \frac{c_{ij}}{\beta A_i} W_j = 0$$

$$\vdots$$

$$\vdots$$

$$\frac{d^* \psi_n}{dt^*} + \left(\frac{\pi^* E}{\beta l^*} + \frac{k_n G A_n}{\beta I_n} \right) \psi_n + \frac{\pi k_n G A_n}{\beta I_n l} w_n = 0$$

$$\vdots$$

$$\vdots$$

$$\frac{d^* W_n}{dt^*} + \left(\frac{\pi^* k_n G}{\beta l^*} + \frac{\pi^* N_t^n}{\beta A_n l^*} \right) W_n + \sum_{j=1, j \neq n}^n \frac{c_{nj}}{\beta A_n} + \frac{K}{\beta A_n} \right) W_n + \frac{\pi k_n G}{\beta l} \psi_n + \frac{\pi^* E}{\epsilon \beta l^*} W_n^* - \sum_{j=1, j \neq n}^n \frac{c_{nj}}{\beta A_n} W_j = 0 \quad (7)$$

که

$$\beta = (1 + (e_0 a \frac{\pi}{l})^2$$

۳- روش حل هارمونیک بالانس

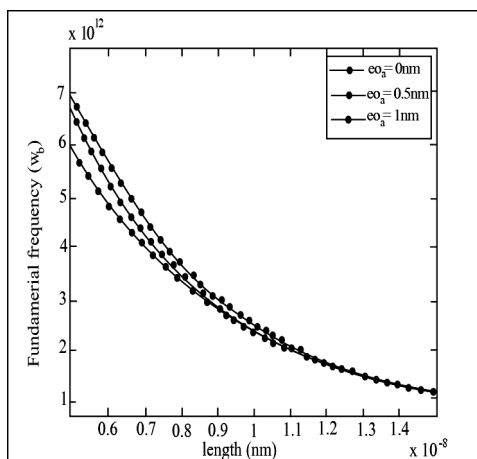
دستگاه معادلات (۷) را که برای یک نانولوکه N لایه به دست آمده است می‌توان به صورت فشرده شده به صورت زیر بیان کرد.

$$\frac{d^* \psi_i}{dt^*} + \left(\frac{\pi^* E}{\eta l^*} + \frac{k_i G A_i}{\eta I_i} \right) \psi_i + \frac{\pi K_i G A_i}{\eta I_i l} W_i = 0$$

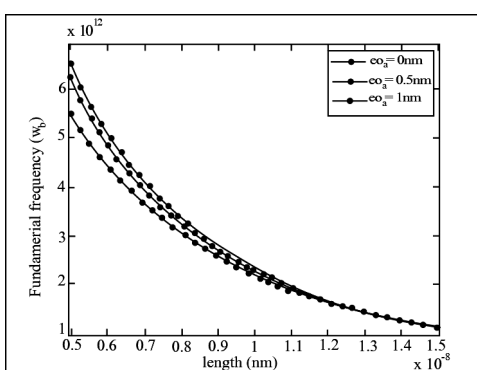
$$\frac{d^* W_i}{dt^*} + \left(\frac{\pi^* K_i G}{\eta l^*} + \frac{\pi^* N_t^i}{\eta A_i l^*} + \frac{k}{\eta A_n} + \sum_{j=1, j \neq i}^n \frac{c_{ij}}{\beta A_i} \right) W_i + \frac{\pi K_i G}{\eta l} \psi_i + \frac{\pi^* E}{\epsilon \eta l^*} W_i^* - \sum_{j=1, j \neq i}^n \frac{c_{ij}}{\eta A_i} W_j = 0 \quad (8)$$

با بکارگیری پارامترهای بی بعد به صورت زیر:

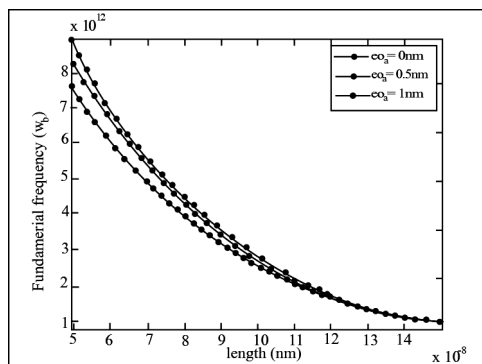
$$\omega_i = \sqrt{\frac{\pi^* E}{\eta l^*}} , \quad \omega_s^i = \sqrt{\frac{K_i G A_i}{\eta I_i}} , \quad \omega_r^i = \sqrt{\frac{\pi K_i G}{\eta l}}$$



شکل (۲) تأثیر پارامتر غیر موضعی بر فرکانس پایه نanolوله تک لایه.



شکل (۳) تأثیر پارامتر غیر موضعی بر فرکانس پایه نanolوله دو لایه.



شکل (۴) تأثیر پارامتر غیر موضعی بر فرکانس پایه نanolوله سه لایه.

رفتار چهار فرکانس پایه اول نanolوله های کربنی تک لایه، دولایه، سه لایه بر حسب طول نanolوله به ترتیب در شکل های (۵) تا (۷) نشان داده شده است.

اختلاف بین این مقادیر در طول های کوتاه زیاد بوده و با افزایش طول اختلاف بین سطوح فرکانسهای پایه اول تا چهارم کاهش می یابد. در این نمودارها $e_o a = 0.5 nm$ است.

$$\begin{aligned}
 -\omega^{\gamma} \Lambda_{i+n} + ((\omega_l^{\gamma}) + (\omega_s^i)^{\gamma}) \Lambda_{i+n} + \frac{\pi}{l} (\omega_s^i)^{\gamma} \Gamma_{i+n} = 0 \\
 -\omega^{\gamma} \Gamma_{i+n} + \left(\frac{\pi}{l} (\omega_r^i)^{\gamma} + (\omega_k^{\gamma}) \delta_{in} \right. \\
 \left. + \sum_{j=1, j \neq i}^n (\omega_c^{ij})^{\gamma} \right) \Gamma_{i+n} + (\omega_r^i)^{\gamma} \Lambda_{i+n} \\
 + \alpha \omega_l^{\gamma} \left(\frac{3}{4} \Gamma_i^{\gamma} \Gamma_{i+n} + \frac{1}{4} \Gamma_i^{\gamma} + \frac{3}{4} \Gamma_{i+n}^{\gamma} \right) \\
 \sum_{j=1, j \neq i}^n (\omega_c^{ij}) \Gamma_{j+n} = 0
 \end{aligned} \quad (12)$$

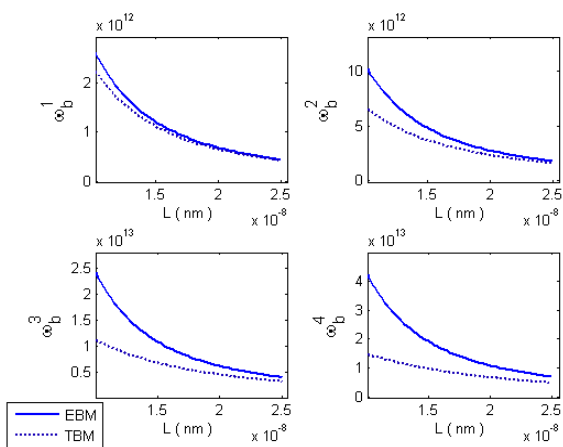
معادلات غیرخطی ارایه شده در روابط (۱۱) و (۱۲) را می توان به ازای مقداری مشخص از $\Gamma_i, \Gamma_{i+n}, i = 1, 2, \dots, n$ و $\omega, \Lambda_i, \Lambda_{i+n}, i = 1, 2, \dots, n$ حل کرد.

۴- پاسخ فرکانس غیر خطی برای نanolوله

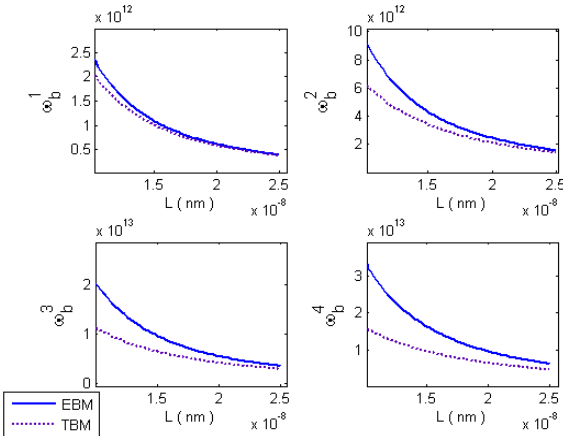
nanolوله کربنی مورد مطالعه دارای مدل الاستیسیته $E = 1/1 TPa$ ضریب برشی $k_i = 0/6$ ، $\rho = 1300 kg/m^3$ ، طول $d_i = 3 nm$ ، قطر خارجی $d = 45 nm$ ، ضریب نفوذ $\alpha_x = 1/6 \times 10^{-6} K^{-1}$ ، ضریب پواسون $\nu = 0/3$ ، دما $T = 50^\circ C$ و ضریب بستر الاستیک برابر $k = 10^7 N/m^2$ است.

شکلهای (۲) تا (۴) مقایسه بین مدل موضعی و غیرموضعی تیر تیموشنکو را به ترتیب برای نanolوله کربنی تک لایه، دولایه و سه لایه نشان می دهد.

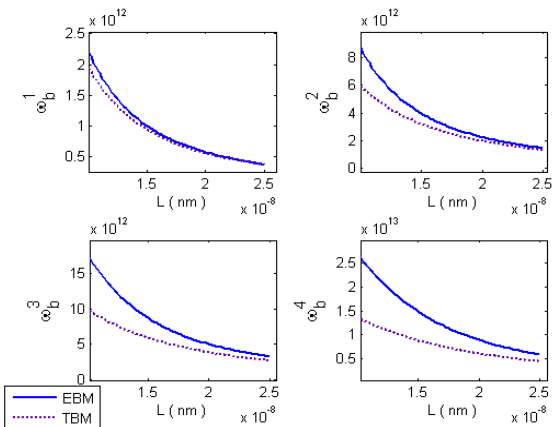
در این نمودارها فرکانس پایه بر حسب طول نanolوله کربنی نشان داده شده است. مطابق این نمودارها برای طول های نسبتاً بلند، دو مدل موضعی و غیرموضعی تیر تیموشنکو دارای فرکانسهای برابر بوده و تأثیر پارامتر غیرموضعی در طول های کوتاه مشاهده می شود. همچنین با افزایش مقدار پارامتر غیرموضعی، مقدار فرکانس پایه سطوح پایین تری را به خود اختصاص می دهد.



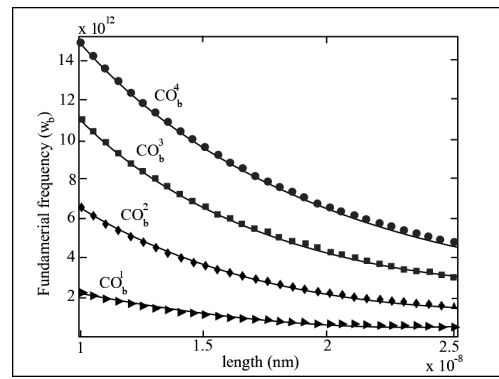
شکل(۸) مقایسه بین مدل تیر اویلر-برنوی و تیموشکو در تخمین چهار فرکانس پایه برای نانولوله کربنی تک لایه.



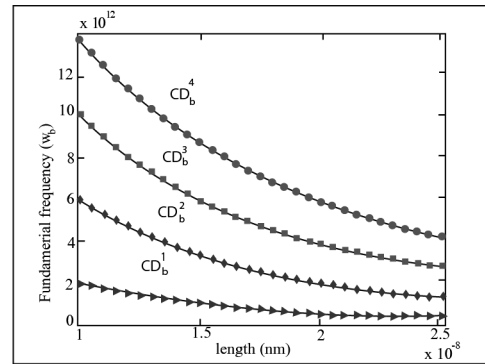
شکل(۹) مقایسه بین مدل تیر اویلر-برنوی و تیموشکو در تخمین چهار فرکانس پایه برای نانولوله کربنی دو لایه.



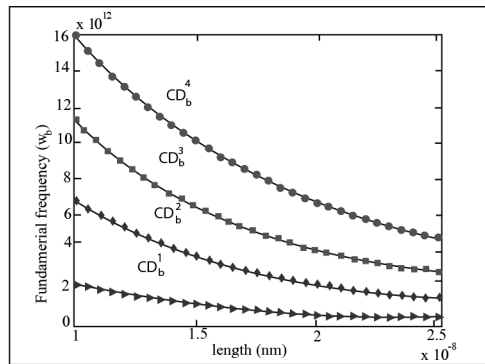
شکل(۱۰) مقایسه بین مدل تیر اویلر-برنوی و تیموشکو در تخمین چهار فرکانس پایه برای نانولوله کربنی سه لایه.



شکل(۵) تأثیر افزایش مود بر فرکانس پایه نانولوله تک لایه.

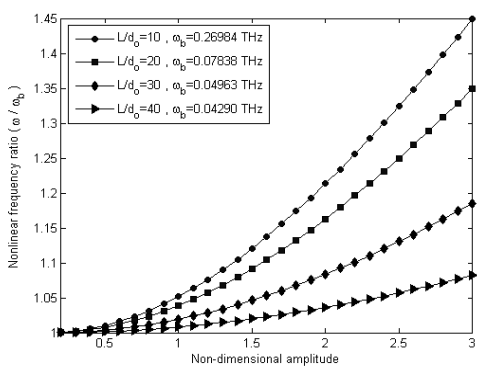


شکل(۶) تأثیر افزایش مود بر فرکانس پایه نانولوله دو لایه.

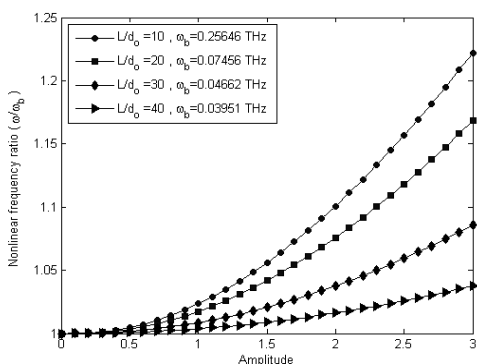


شکل(۷) تأثیر افزایش مود بر فرکانس پایه نانولوله سه لایه.

نمودارهای (۸) تا (۱۰) مقایسه رفتار چهار فرکانس پایه را بین دو مدل تیر اویلر-برنوی و تیموشکو برای نانولوله‌های کربنی تک لایه، دو لایه و سه لایه نشان می‌دهد. برای نانولوله‌های کربنی بلند دو مدل رفتاری یکسان داشته در حالیکه در طولهای کوتاه به خاطر عدم در نظر گرفتن اثرات تغییرشکل برشی و اینرسی در مدل تیر اویلر-برنوی، این مدل نسبت به مدل تیر تیموشکو تخمین بالاتری را برای فرکانس‌های پایه ارایه می‌کند.

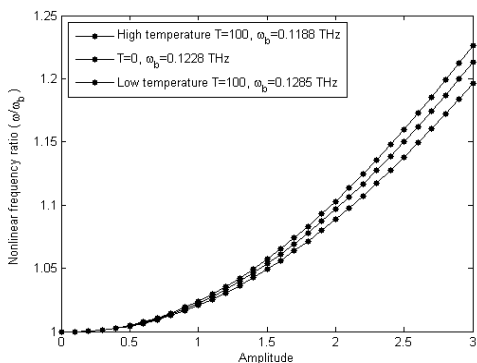


شکل (۱۳) تأثیر نسبت طول به قطر خارجی بر پاسخ فرکانس غیر خطی برای نanolوله کربنی دولایه.



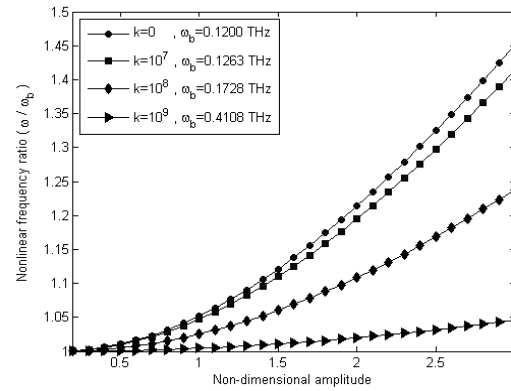
شکل (۱۴) تأثیر نسبت طول به قطر خارجی بر پاسخ فرکانس غیر خطی برای نanolوله کربنی سه لایه

اثر دمای پایین و بالا نزدیک روی نanolوله کربنی سه لایه در شکل (۱۵) نشان داده شده است. در حالت دما بالا که ضریب نفوذ $\alpha_x = -1/1 \times 10^{-9} K^{-1}$ است، نسبت فرکانس غیرخطی به فرکانس خطی سطح بالاتری را نسبت به دمای صفر و دمای پایین با ضریب نفوذ $\alpha_x = 1/6 \times 10^{-9} K^{-1}$ به خود اختصاص می دهد.

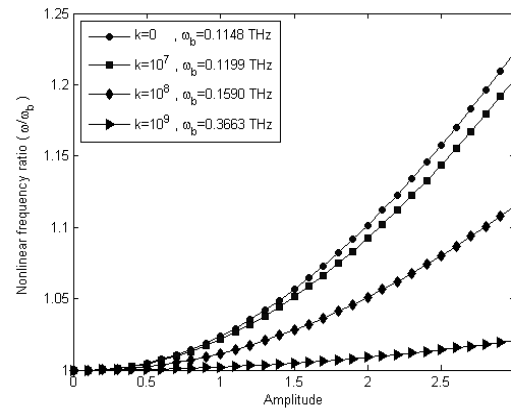


شکل (۱۵) تأثیر دما بالا ($\alpha_x = -1/1 \times 10^{-9} K^{-1}$) و دما پایین ($\alpha_x = -1/6 \times 10^{-9} K^{-1}$) روی فرکانس غیرخطی برای نanolوله کربنی سه لایه

تأثیر ضریب سفتی بستر الاستیک بر فرکانس غیرخطی نanolوله دولایه و سه لایه به ترتیب در شکل های (۱۱) و (۱۲) نشان داده شده است. با توجه به این نمودارها با افزایش مقدار ضریب بستر الاستیک نرخ نسبت فرکانس غیرخطی به فرکانس خطی با افزایش دامنه کاهش می یابد و بستر با ضریب الاستیک بیشتر رفتار غیر خطی سیستم را به سمت رفتار خطی می دهد.



شکل (۱۱) تأثیر ضریب بستر الاستیک بر پاسخ فرکانس غیر خطی برای نanolوله کربنی دولایه.



شکل (۱۲) تأثیر ضریب بستر الاستیک بر پاسخ فرکانس غیر خطی برای نanolوله کربنی سه لایه.

همچنین شکل های (۱۳) و (۱۴) نیز تأثیر نسبت طول به قطر خارجی را بر نسبت فرکانس غیرخطی به فرکانس خطی برای نanolوله دولایه و سه لایه نشان می دهد. در این نمودارها نیز با افزایش نسبت طول به قطر خارجی، فرکانس غیرخطی به فرکانس خطی نزدیک می شود. بدین معنا که برای نسبت طول به قطر خارجی بزرگ می توان از اثر غیرخطی صرف نظر کرد.

v	ضریب پواسون
$K(N/m^4)$	ضریب بستر الاستیک
$c_{ij}(N/m^4)$	ضریب وندروالسی
$T(^{\circ}C)$	دما
$\alpha_x(K^{-1})$	ضریب نفوذ دمایی در راستای x
$N_t(N)$	نیرو ناشی از دما
$\omega(rad/s)$	فرکانس
$G(N/m^4)$	مدول برشی
k_i	ضریب برشی

مراجع

- [1] Iijima S., Helical microtubes of graphitic carbon, *Nature*, 354, 1991, pp. 56-58.
- [2] Baughman R.H. , Carbon nanotubes actuators, *Science*, 284, 1991, pp. 1340-4.
- [3] Tsukagoshi K., Yoneya N., Uryu S., Aoyagi Y., Kanda A., Ootuka Y., Carbon nanotube devices for electronics, *Physica B*, 323(1-4), 2002, pp. 107-14.
- [4] Baughman R.H., Zakhidov A.A., de Heer W.A., Carbon nanotubes – the route toward applications, *Science*, 297, 2002, pp. 787-92.
- [5] Choi W.B., Bae E., Kang D., Chae S., Cheong B., Ko J., Aligned carbon nanotubes for nanoelectronics, *Nanotechnology*, 15, 2004, pp. 512-6.
- [6] Iijima S., Brabec C., Maiti A., Bernholc J., Structural flexibility of carbon nanotube, *J. Chem. Phys.*, 104, 1996, pp. 2089-92.
- [7] Yakobson B.I., Campbell M.P., Brabec C.J., Bernholc J., High strain rate fracture and C-chain unraveling in carbon nanotubes, *Comput. Mater. Sci.*, 8, 1997, pp. 341-8.
- [8] Hernandez E., Goze C., Bernier P., Rubio A., Elastic properties of C and BxCyNz composite nanotubes, *Phys. Rev. Lett.*, 80, 1998, pp. 4502-5.
- [9] Yoon J., Ru C.Q., Mioduchowski A., *Timoshenko-beam effects on transverse wave propagation in carbon nanotubes*, Compos Part B, 35, 2004, pp. 87-93.

۵- نتیجه گیری

در این مقاله بر اساس تئوری غیرموضعی تیر تیموشکو، معادلات دیفرانسیل جزیی غیرخطی حاکم بر رفتار دینامیکی نانولوله‌های کربنی چندلایه به صورت کلی استخراج شدند و با به کارگیری روش هارمونیک بالانس وتابع شکل متناسب با شرایط مرزی تکیه گاه ساده، معادلات دیفرانسیل معمولی تابع زمان به دست آمدند. برخلاف مطالعات گذشته، در این مقاله به منظور مدل کردن نیروی برهم کنش بین لایه‌ها، اثر متقابل وندروالسی تمام لایه‌ها بر همدیگر در نظر گرفته شد. با توجه به در نظر گرفتن اثرات تغییر شکل برشی و اینرسی در تئوری تیر تیموشکو، در این تئوری مدلی کامل‌تر از رفتار نانولوله نسبت به مدل تیر اویلر-برنولی ارائه می‌شود. مقایسه این دو تئوری نشان می‌دهد که در طولهای کوتاه اثرات تغییر شکل برشی واينرسی کاملاً محسوس بوده و مدل تیر تیموشکو تخمین پایین‌تری را نسبت به مدل تیر اویلر-برنولی ارایه می‌دهد. ولی با افزایش طول نانولوله، پاسخ فرکانسی این دو مدل به یکدیگر همگرا می‌شوند. همچنین اثر پارامترهای هندسی نانولوله کربنی مانند نسبت طول به قطر خارجی، تعداد لایه، هچنین اثرات محیطی حاکم مانند ضریب بستر الاستیک، دما و اثر پارامتر غیرموضعی بر پاسخ فرکانسی نانولوله‌های تک‌لایه، دولایه و سه‌لایه مورد بررسی قرار گرفتند. با توجه به نتایج حاصل، با افزایش تعداد لایه‌ها، نسبت طول به قطر خارجی، ضریب بستر الاستیک و دما پاسخ فرکانسی سطوح پایین‌تری را به خود اختصاص می‌دهد. به عبارت دیگر، نسبت فرکانس غیرخطی به فرکانس خطی نزدیک شده و رفتار غیرخطی نانولوله کربنی به رفتار خطی می‌کند. با افزایش پارامتر غیرموضعی نیز فرکانس پایه به ازای طولهای کوتاه سطوح پایین‌تری را به خود اختصاص داده و لی با افزایش طول تأثیر این پارامتر قابل صرف‌نظر کردن است.

فهرست علائم

$L(m)$	طول
$t(m)$	ضخامت
$\rho(kg/m^3)$	چگالی
$A(m^4)$	سطح مقطع
$R_j(m)$	شعاع زامین لایه
$E(N/m^4)$	مدول یانگ

- [20] Arash B., Ansari R., Evaluation of nonlocal parameter in the vibrations of single-walled carbon nanotubes with initial strain, *Physica E*, 42, 2010, pp.2058-64.
- [21] Eringen A.C., On differential equations of nonlocal elasticity and solutions of screw dislocation and surface waves, *J. Appl. Phys.*, 54, 1983, pp. 4703–10.
- [22] Eringen A.C., Nonlocal Continuum Field Theories, Springer New York, 2002.
- [۲۳] انصاری ر., رمضان نژاد ح., تحلیل ارتعاشات غیرخطی ناولوله‌های کربنی چندلایه روی بستر الاستیک در محیط حرارتی، فصلنامه علمی پژوهشی مهندسی مکانیک جامدات دانشگاه آزاد خمینی شهر، شماره چهارم، زمستان ۱۳۸۷.
- [10] Fu Y.M., Hong J.W., Wang X.Q., Analysis of nonlinear vibration for embedded carbon nanotubes, *Journal Sound and Vibration*, 296, 2006, pp. 746-56.
- [11] Wang C.M., Tan V.B.C., Zhang Y.Y., Timoshenko beam model for vibration analysis of multi-walled carbon nanotubes, *Journal Sound and Vibration*, 294, 2006, pp.1060–72.
- [12] Wang Q., Varadan V.K., Quek S.T., Small scale effect on elastic buckling of carbon nanotubes with nonlocal continuum models, *Phys. Lett. A*, 357, 2006, pp. 130-5.
- [13] Hsu J.C., Chang R.P., Chang W.J., Resonance frequency of chiral single-walled carbon nanotubes using Timoshenko beam theory, *Phys. Lett. A.*, 372, 2008, pp. 2757-9.
- [14] Zhang Y.Q., Liu X., Zhao J.H., Influence of temperature change on column buckling of multiwalled carbon nanotubes, *Phys. Lett. A.*, 372, 2008, pp. 1676-81.
- [15] Aydogdu M., A general nonlocal beam theory its application to nano beam bending, buckling and vibration, *Physica E*, 41, 2009, pp. 1651–5.
- [16] Zhang Y.Y., Wang C.M., Tan V.B.C, Assessment of Timoshenko Beam Models for Vibrational Behavior of Single-Walled Carbon Nanotubes using Molecular Dynamics, *Adv. Appl. Math. Mech.*, 1, 2009, pp. 89-106.
- [17] Lee H.L., Chang W.J., A closed-form solution for critical buckling temperature of a single-walled carbon nanotube, *Physica E*, 41, 2009, pp. 1492–4.
- [18] Ansari R., Hemmatnezhad M., Ramezannezhad H., Application of HPM to the nonlinear vibrations of multiwalled carbon nanotubes, *Numer. Meth. Part. Diff. Eq.*, 26, 2010, pp. 490–500.
- [19] Hu Y.G., Liew K.M., Wang Q., He X.Q., Yakobson, B.I., Nonlocal shell model for elastic wave propagation in single- and double-walled carbon nanotubes, *J. Mech. Phys. Solids*, 56, 2008, pp. 3475-85.